

## 栈橋に働く揚圧力の同時波圧分布と全揚圧

大阪大学工学部

正会員

榎木 亨

大阪大学工学部

正会員

○後野正雄

兵庫県庁

正会員

吉村文章

1. まえがき： 栈橋床版に作用する設計揚圧力としては、伊藤らによると提案された4t/Hという波圧が床版全体に作用するものとして用いられている。しかしながら揚圧力はある受圧面積内に時間的な位相差をもつて作用するため、局部的揚圧力のピーク値と全体的な合力のピーク値は一般に異なる。そこで本研究では局部揚圧力および全揚圧力の特性とそれらの関連を明らかにしようとするものである。また既往の研究において指摘される床版下の空気の閉じ込めによる揚圧力特性の変化を調べるために、空気孔となる目地がある場合と目地を埋め密閉した二つのCaseの実験を行ない、空気閉じ込めの効果についても検討を加えた。

2. 実験方法： 実験装置は二次元造波水槽に図1に示すように $800 \times 740 \times 10$ の鋼製床版を岸沖方向に2枚並べたものであり、 $40 \times 30\text{mm}$ のリブにより、24のブロックに分けられてい。床版下面には局部揚圧力を測るため8箇所に波圧計が設けられており、床版上面には全揚圧力を測定するため岸沖とれぞれ3個のロードセルを設置している。なお波圧計およびロードセルの固有振動数は单体でともに4.0kHz, 32kHzである。

3. 実験結果： 図2,4は実験により得られた各測点ごとの3秒間の時系列を示したものの一例であり、図2は目地入、図4は目地無の実験ケースである。図中上から1～8列目までは図1に示す岸壁を原点とした波圧計の設置位置Xを波長レバ無次元化して相対設置位置における局部揚圧力の時系列であり、下の2列は沖側および岸側床版の全揚圧力の時系列で、実線はロードセルにより得た波力を床版面積で除した平均揚圧強度で、点線が上記測点No.1～8までの局部揚圧力の同時刻における値を $1/210\text{ sec.}$ ごとにsamplingして積分したものである。この際リブで囲まれたブロック内の波圧強度は一様な分布を示すものとして取り扱った。また図3,5は図2,4での各測点の位置を横軸に、波圧を縦軸に、斜め上方に時刻をとった同時波压分布の時間的な変化を示したものであり、時刻は $1/320\text{ sec.}$ ごとに刻まれている。図2,3を見ると、測点No.3,4,5,8で衝撃的な力が生じ、他の測点ではほとんど波圧が作用しておらず各ブロック間の波圧は互にほぼ独立していると言えよう。また測点No.3,4,5と8では位相がちょうど半周期ずれしており、重複波が形成されることわかる。一方、図4,5の空気を密閉した目地無実験の場合は測点No.4,5に非衝撃的な力が生じた直後にNo.6,7,8で非衝撃的な変動が起る。これは图

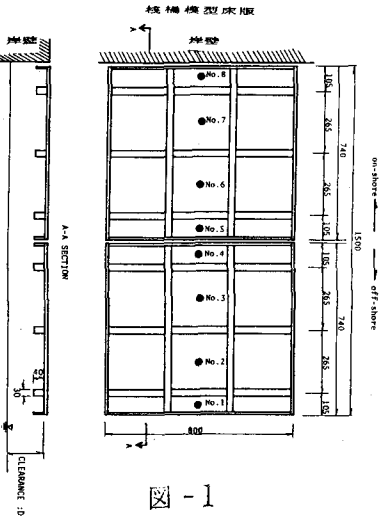
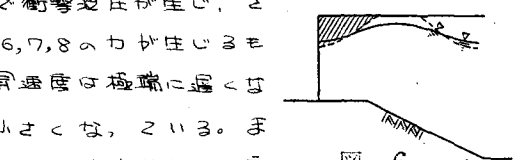
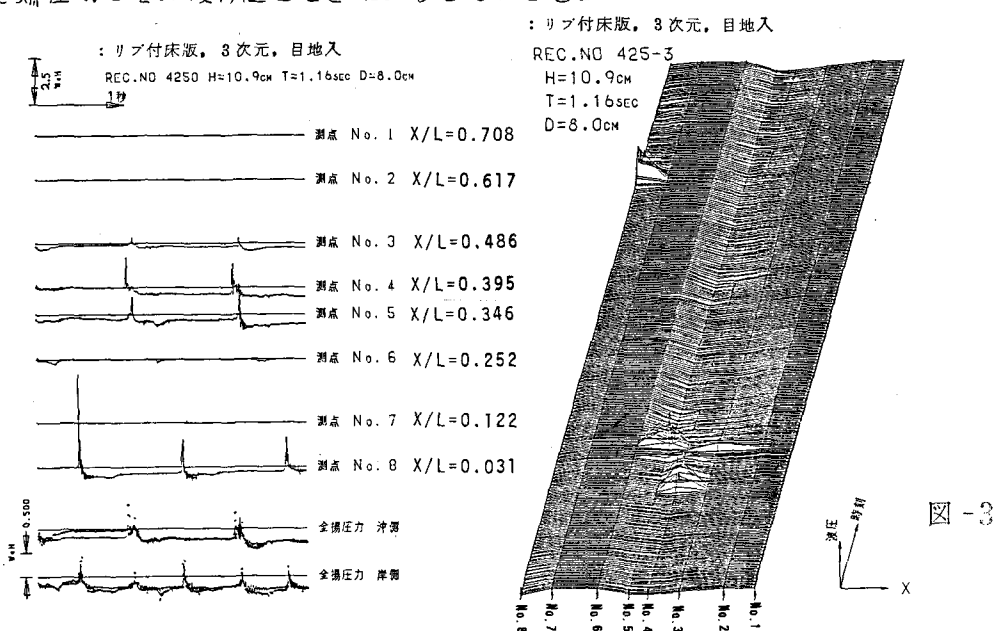


図-1

6に示すように重複波の腹が衝突する際にNo.4,5で衝撃圧が生じ、さらに水面が上昇することによる空気圧縮によりNo.6,7,8のかか生じるものと考えられる。この空気圧縮のために波面の上昇速度は極端に遅くなり、半周期後の測点No.8における衝撃力は極めて小さくなっている。また全揚圧力は図2,4のように測定値と各測点における同時揚圧分布を空間的に積分したものとはほぼ一致しており、床版下面の各点での局部揚圧力の時系列がわかれれば、全揚圧力はその積分値として求めることができる。



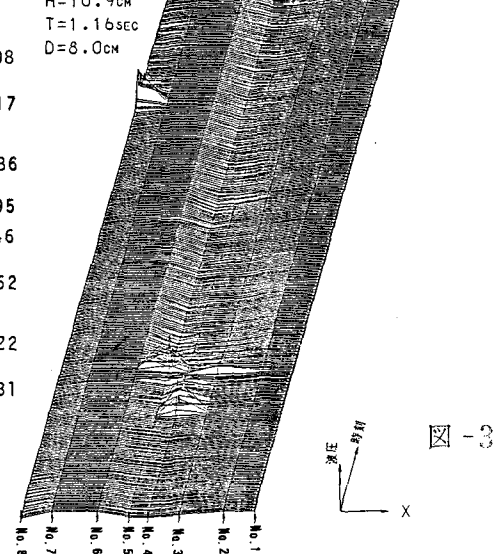
：リブ付床版、3次元、目地入

REC.NO 425-3

H=10.9cm

T=1.16sec

D=8.0cm



：リブ付床版、2次元、目地無

REC.NO 3250 H=10.4cm T=1.17sec D=8.0cm

17

17

